

УДК 577.152.3

## Властивості $Na^+, K^+$ -активованої, $Mg^{2+}$ -залежної АТФ-гідролази лімфоцитів крові у хворих на реактивний артрит

О.В. Мельник, О.П. Корнійчук, О.І. Першин, З.Д. Воробець

Львівський національний медичний університет імені Данила Галицького, Львів, Україна

Установлено зміни та проаналізовано кінетичні властивості оуабайнчувствової  $Na^+, K^+$ -АТФази при активності сапонін-перфорованих лімфоцитів периферичної крові практично здорових осіб і хворих на реактивний артрит (РеА). У лімфоцитах периферичної крові хворих на РеА первинно-активне транспортування іонів  $Na^+, K^+$  відбувається повільніше і менш інтенсивно порівняно з практично здоровими донорами, але характеризується приблизно однаковою ємністю з донорами. Константа афінності до АТФ у лімфоцитах периферичної крові хворих на РеА перевищує її значення порівняно з практично здоровими донорами у 2,9 раза. За умов розвитку ревматичної патології в імуноокомпетентних клітинах ініціювання активності  $Na^+, K^+$ -АТФаз відбувається не за рахунок зменшення кількості обергів сингаму, а шляхом підвищення спорідненості оуабайнчувствової  $Na^+, K^+$ -АТФази до АТФ. Водночас,  $Mg^{2+}$ -зв'язувальна діяльність оуабайнчувствової  $Na^+, K^+$ -АТФази лімфоцитів хворих на РеА залишається нативною. Афінність  $Na^+, K^+$ -АТФаз лімфоцитів периферичної крові допорів до іонів  $K^+$  перевищує афінність у хворих на РеА у 2,4 раза.  $Na^+, K^+$ -АТФаза лімфоцитів периферичної крові хворих на РеА зберігає свою нативну рецепторну властивості: чутливість до ініціювання оуабайном не змінюється. Припускається, що за умов розвитку ревматичної патології відбувається зміна на структуру  $Na^+, K^+$ -АТФази здійснюється як із зовнішньокітінної, так і з цитоплазматичної поверхні мембрани.

*Ключові слова:*  $Na^+, K^+$ -АТФаза; реактивний артрит; лімфоцити

## Properties of $Na^+, K^+$ -activated, $Mg^{2+}$ -dependent ATP-hydrolyze of blood lymphocytes in patients with reactive arthritis

О.В. Melnyk, О.П. Kornijchuk, О.І. Pershyn, З.Д. Vorobets

Danylo Halytskyi Lviv National Medical University, Lviv, Ukraine

A significant role in the development and course of reactive arthritis (ReA) is played by T-lymphocytes as their development and systemic manifestations are based on immunological mechanisms. Additionally, the pathogenesis of many diseases is linked to changes in the structure and function of ion-transporting systems. Therefore, the aim of the study was to find out the kinetic properties of ATP-hydrolysis reaction involving  $Na^+, K^+$ -ATPase of peripheral blood lymphocytes of healthy individuals and patients with ReA. We used the current methodological approaches to the study of ATPase activity in saponin permeabilized cells. We conducted an analysis of the kinetic properties of ouabaininsensitive  $Na^+, K^+$ -ATPase activity of saponin-perforated peripheral blood lymphocytes of healthy donors and patients with rheumatoid arthritis (ReA). We found out that in peripheral blood lymphocytes of patients with ReA primary active transport of  $Na^+, K^+$  ions is slower and less intensive, though characterised by the same capacity, as in healthy donors. The affinity constant for ATP in peripheral blood lymphocytes in patients with ReA is greater by 2.9 times than its value in comparison with healthy donors. We established that in conditions of rheumatic pathology in immunocompetent cells, inhibition of  $Na^+, K^+$ -ATPase activity is not caused by reduction of speed of enzyme work, but by increase of affinity of ouabaininsensitive  $Na^+, K^+$ -ATPase to ATP. At the same time, the  $Mg^{2+}$ -binding center of  $Na^+, K^+$ -ATPase in patients with ReA is endogenous. We also found that affinity  $Na^+, K^+$ -ATPase to the ions  $K^+$  in peripheral blood lymphocytes of healthy donors is 2.4 times higher than in patients with ReA. We observed that  $Na^+, K^+$ -ATPase of peripheral blood lymphocytes of patients with ReA retains its endogenous receptor properties – sensitivity to ouabain does not change. It is assumed that under conditions of rheumatic pathology the impact on the  $Na^+, K^+$ -ATPase structure occurs both externally and on the cytoplasmic membrane surface. The above experimental data can be used for further clarification of the membrane mechanisms of ion exchange in immunocompetent cells of patients suffering from autoimmune diseases.

*Keywords:*  $Na^+, K^+$ -ATPase; reactive arthritis; lymphocytes

## Вступ

Реактивний артрит (РеА) є одним із найрозвитковіших запальних аутоімунних захворювань суглобів. Високі показники поширення та захворюваності, схильність до прогресування, розвиток непрещедатності серед осіб середнього віку зумовлюють високу медико-соціальну значимість цієї патології (Berezhnyi et al., 2013; Kovalenko, 2011; Spaska, 2011). РеА – системне захворювання, яке розвивається внаслідок уrogenітальної (найчастіше хламідійної), кишкової або носоглоткової інфекції (Zeidler et al., 2004; Hamdulau et al., 2006; Kim et al., 2009; Kohnke, 2009; Spaska, 2011; Berezhnyi et al., 2013).

Згідно із сучасними уявленнями, значна роль у розвитку та перебігу артритів належить Т-лімфоцитам. В основі РеА та його системних проявів лежать імунологічні механізми (Colmegna and Espinoza, 2005; Leirisalo-Repo, 2005; Leirisalo-Repo and Sieper, 2006; Lychkovska, 2011). Тому актуальними є питання, які стосуються саме імунопатології ревматичних захворювань, їх механізмів виникнення та розвитку.

Патогенез багатьох захворювань пов'язаний зі змінами структури та функцій біомембрани, у формуванні яких значна роль належить мембраноз'язаним білкам, зокрема інтегральним АТФ-залежним транспортувальним системам іонів.  $Na^+$ ,  $K^+$ -АТФаза (ЕС 3.6.1.37) – маркерний ензим плазматичної мембрани, який селективно інгібується оуабайном, є  $Ca^{2+}$ -незалежною,  $Na^+$ ,  $K^+$ -активованою,  $Mg^{2+}$ -АТФ-залежною транспортувальною системою, що здійснює активне трансмембранне перенесення іонів  $Na^+$ ,  $K^+$  і тим самим підтримує їх електрохімічні градієнти, необхідні для нормального функціонування клітини. Активність  $Na^+$ ,  $K^+$ -АТФази відіграє ключову роль у підтриманні внутрішньоклітинного іонного гомеостазу, осмотичного балансу та трансмембранного потенціалу клітин, змінюється під впливом гормонів, факторів росту та стресу.

Нашими попередніми дослідженнями показано (Melnyk et al., 2011), що у хворих на РеА  $Na^+$ ,  $K^+$ -АТФазна активність лімфоцитів периферичної крові істотно відрізняється від контрольної групи, а після проведеного лікування хворих у стаціонарі спостерігається наближення активності  $Na^+$ ,  $K^+$ -АТФази до її контрольних значень. На сьогодні нез'ясованими залишаються біохімічні механізми порушення функціональної активності  $Na^+$ ,  $K^+$ -АТФази у лімфоцитах периферичної крові за умов розвитку аутоімунного процесу. Комплексне вивчення функціонування та ролі  $Na^+$ ,  $K^+$ -ポンпів як системи снергозалежного транспортування іонів  $Na^+$ ,  $K^+$  у регуляції функціональної відповіді клітини (з використанням фізіологічних методів дослідження на цілісних об'єктах) і ензиматичної активності  $Na^+$ ,  $K^+$ -АТФази (з використанням біохімічних методів) на одному об'єкті дасть можливість сформувати цілісне уявлення про участь цих систем у підтриманні іонного гомеостазу клітини. З огляду на це, мета цієї роботи – з'ясувати кінетичні характеристики АТФ-гідролазної реакції за участю  $Na^+$ ,  $K^+$ -АТФази сапонін-перфорованих лімфоцитів периферичної крові клінічно здорових осіб і хворих на РеА.

## Матеріал і методи досліджень

Дослідження проводили на лімфоцитах периферичної крові донорів і хворих, які перебували на стаціонарному лікуванні у ревматологічному відділенні Львівської обласної клінічної лікарні. Усіх хворих поділено на дві дослідні групи: хворі на РеА до ( $n = 14$ ) та після проведеного лікування ( $n = 14$ ). Групу контролю становили практично (клінічно) здорові донори віком 20–30 років ( $n = 15$ ).

Відповідні діагнози встановлювали на базі загально-визнаних критеріїв. Використано широкий комплекс загальноклінічних, лабораторних, спеціальних ревматологічних, інструментальних, мікробіологічних, імунологічних досліджень з метою виявлення причин розвитку реактивного артриту (Leirisalo-Repo and Sieper, 2006).

Моноядерні лімфоцити периферичної крові людини виділяли з гепаринізованої свіжоотриманої крові хворих і донорів у градієнті концентрації фікол-тріумбрасту ( $1,08 \text{ g/cm}^3$ ) (Boyum, 1968). Цілісність і життєздатність лімфоцитів, яка в усіх дослідах становила не менше 95%, оцінювали за забарвленням трипановим синім (Michell and Shiigi, 1980). Для пермабілізації мембрани лімфоцитів периферичної крові з метою розкриття латентної  $Na^+$ ,  $K^+$ -АТФазної активності до суспензії лімфоцитів додавали 0,2% сапонін (Fafula et al., 2012). Ця методика ґрунтується на роботах, виконаних на лімфоцитах раніше. Вміст білка у лімфоцитарній суміші визначали методом Лоурі (Lowry et al., 1951).

Визначення загальної АТФазної ензиматичної активності лімфоцитів проводили при  $37^\circ\text{C}$  у середовищі інкубації (об'ємом 1 мл) такого складу (мМ):  $30 \text{ NaCl}$ ,  $120 \text{ KCl}$ ,  $5 \text{ MgCl}_2$ ,  $1.5 \text{ ATP}$ ,  $1 \text{ EGTA}$ ,  $1 \text{ NaN}_3$  (інгібітор мітохондріальної АТФази) (Fafula et al., 2012),  $20 \text{ Heps-Tris-буфер } 7.4$ ,  $0.1 \text{ мкM}$  тапсигаргін (селективний інгібітор  $Ca^{2+}$ ,  $Mg^{2+}$ -АТФаз ЕПР) (Fafula et al., 2012). Ензиматичну реакцію ініціювали внесенням до інкубаційного середовища аліквоти лімфоцитарної суміші –  $100 \text{ мкл}$  (кількість білка у пробі не перевищувала  $50$ – $100 \text{ мкг/мл}$ ). Тривалість інкубації –  $1$ – $15 \text{ хв}$ . Ензиматичну реакцію зупиняли додаванням  $1 \text{ мл}$  охолодженого стоп-роздчину такого складу:  $1.5 \text{ M}$  натрій ацетат,  $3.7\%$  формальдегід,  $14\%$  станол,  $5\%$  ТХО ( $pH = 4.3$ ). Базальну  $Mg^{2+}$ -АТФазну активність лімфоцитів тестували в аналогічному середовищі інкубації, але за присутності  $1 \text{ mM}$  оуабайну – селективного інгібітора  $Na^+$ ,  $K^+$ -АТФази (Tian et al., 2006). Оуабайнчутливу  $Na^+$ ,  $K^+$ -АТФазну активність обчислювали за різницю між величиною загальної АТФазної та базальної  $Mg^{2+}$  активності.

У дослідах контролем на неензиматичний гідроліз АТФ було стандартне середовище інкубації, яке не містило досліджуваної проби. Як контроль на кількість снодогенного неорганічного фосфору ( $P_i$ ) в лімфоцитарній суміші використовували суспензію лімфоцитів у фізіологічному розчині. Кількість продукту реакції  $P_i$  визначали методом W. Rathbun та V. Bellach (Rathbun and Bellach, 1969) і виражали у мкмоль  $P_i/\text{хв}\cdot\text{мг}$  протеїну.

Дослідження кінетичних властивостей ензиматичної реакції  $Na^+$ ,  $K^+$ -активованої  $Mg^{2+}$ -залежної АТФ-гідролазної реакції проводили у стандартному середовищі інкубації, модифікованому за фізико-

хімічними характеристиками чи складом відвідних компонентів (час інкубаші, концентрації АТФ,  $Na^+$ ,  $K^+$ , оуабайну). Всі експерименти з вивченнями властивостей  $Na^+$ ,  $K^+$ -АТФазою ферментативної реакції проводили в режимі початкової швидкості  $V_0$  (лінійність накопичення продукту  $P_i$  у часі).

Уявні кінетичні параметри, які характеризують реакцію вивільнення неорганічного фосфору під час  $Na^+$ ,  $K^+$ -активованого,  $Mg^{2+}$ -залежного гідролізу АТР – максимальну миттєву швидкість реакції  $V_0$ , максимальну (платову) кількість утворення продукту реакції  $P_{max}$  та характеристичний час реакції (період напівнасичення) визначали як описано у статті (Keleti, 1990). Уявні кінетичні параметри, які характеризують  $Na^+$ ,  $K^+$ -активовану,  $Mg^{2+}$ -залежну АТР-гідролазну реакцію – константу активації іонами, константу Міхасліса (КмАТФ) та початкову максимальну швидкість реакції гідролізу АТР визначали методом Лайнівера – Берка (Keleti, 1990). Отримані концентраційні залежності швидкості синтетичної реакції від досліджуваних реагентів реакції гідролізу будували в координатах:  $\{1/V \text{ від } 1/S\}$ , де  $S$  – задана концентрація реагенту, а  $V$  – швидкість синтетичного гідролізу АТР при заданій концентрації.

При визначенні ефективності впливу оуабайну на  $Na^+$ ,  $K^+$ -АТФазу активність (уявної константи інгібування ( $I_{0,5}$ ) та коефіцієнта Хілла ( $n_H$ )) лінеаризовані криві концентраційних залежностей будували у координатах Хілла  $\{lg/(A_0 - A)/A\}; \{lg/I\}$  відповідно до емпіричного рівняння Хілла:

$$lg/(A_0 - A)/A = n_H lg I_{0,5} + n_H lg I,$$

де  $A_0$  та  $A$  – питома активність ензиму за відсутності та присутності у середовищі інкубації оуабайну в концентрації  $I$ .

Кінетичні та статистичні розрахунки проводили у програмному забезпеченні MS Office. Результати досліджень обробляли загальноприйнятими методами варіаційної статистики з використанням  $t$ -критерію Стьюдента. Рівняння прямої лінії, що найкраще апроксимує експериментальні дані, розраховували із використанням методу найменших квадратів. Абсолютне значення коефіцієнта кореляції становило 0,90–0,99. Достовірність розрахованих параметрів прямої перевіряли за  $F$ -критерієм Фішера: достовірною вважали апроксимацію, за якої  $P \leq 0,05$ .

У дослідах використовували реактиви АТФ, Нерес, Tris, оуабайн, тапсигаргін, ЕГТА (Sigma, США). Інші використані у дослідах реактиви були вітчизняного виробництва кваліфікації ЧДА та ХЧ.

## Результати та їх обговорення

Із метою вивчення особливостей та механізму роботи  $Na^+$ ,  $K^+$ -АТФази визначали максимальну миттєву швидкість реакції ( $V_0$ ), максимальну (платову) кількість утворення продукту реакції ( $P_{max}$ ) та характеристичний час реакції ( $\tau$ ) (Keleti, 1990; Fafula et al., 2012). Для встановлення цих кінетичних параметрів  $Mg^{2+}$ -залежного гідролізу АТФ, який каталізується  $Na^+$ ,  $K^+$ -АТФазою лімфоцитів, досліджували динаміку накопичення продукту АТФ-гідролазної реакції. Для

цього суспензію лімфоцитів інкубували у стандартному середовищі інкубації протягом різних проміжків часу (1–15 хв). Дані експериментів показали, що кінетику  $Na^+$ ,  $K^+$ -активованого  $Mg^{2+}$ -залежного гідролізу АТФ сапонін-перфорованими лімфоцитами віддзеркалюють криві, які мають тенденцію до насичення (рис. 1). Аналіз отриманих результатів дозволяє дійти висновку, що кінетика  $Na^+$ ,  $K^+$ -активованого,  $Mg^{2+}$ -залежного гідролізу АТФ, каталізованого сапонін-перфорованими лімфоцитами, узгоджується із закономірностями реакції нульового порядку в діапазоні 0–5 хв: у цьому інтервалі часу графік залежності  $P_i$  від періоду інкубації є практично лінійним.

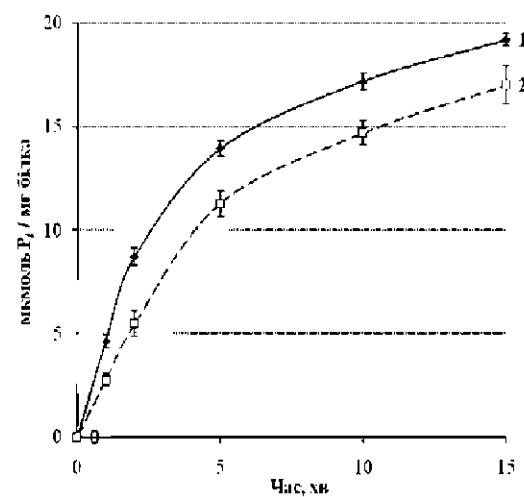


Рис. 1. Динаміка вивільнення неорганічного фосфору ( $P_i$ ) у процесі  $Na^+$ ,  $K^+$ -активованого,  $Mg^{2+}$ -залежного гідролізу АТФ сапонін-перфорованими лімфоцитами периферичної крові донорів (1), хворих на PeA до лікування (2) ( $M \pm m$ ,  $n = 4-6$ )

Як випливає з рисунка 1, в усьому діапазоні часу кількість вивільненого неорганічного фосфору  $P_i$  оуабайнчутливою  $Na^+$ ,  $K^+$ -АТФазою лімфоцитів хворих на PeA дещо нижча порівняно з величиною у донорів. Шляхом лінсаризації отриманих даних у координатах  $P_i t$  від  $P_i$  обчислено основні кінетичні характеристики реакції  $Na^+$ ,  $K^+$ -активованого,  $Mg^{2+}$ -залежного гідролізу АТФ сапонін-перфорованими лімфоцитами (табл. 1).

Таблиця 1  
Кінетичні параметри  $Na^+$ ,  $K^+$ -активованого,  $Mg^{2+}$ -залежного гідролізу АТФ сапонін-перфорованими лімфоцитами периферичної крові донорів і хворих на PeA до проведеного лікування ( $M \pm m$ ,  $n = 4-6$ )

Кінетичні параметри	Донори	PeA
$V_0$ , мкмоль $P_i / \text{хв} \cdot \text{мг протеїну}$	$6,08 \pm 0,45$	$3,22 \pm 0,26^*$
$P_{max}$ , мкмоль $P_i / \text{мг протеїну}$	$25,0 \pm 1,0$	$28,1 \pm 0,1$
$\tau$ , хв.	$4,18 \pm 0,51$	$9,40 \pm 0,65^*$

Примітки:  $V_0$  – максимальна миттєва швидкість реакції,  $P_{max}$  – максимальна (платова) кількість продукту реакції,  $\tau$  – характеристичний час реакції (період напівнасичення); зміни вірогідні стосовно величин у лімфоцитах в осіб групи контролю та хворих на PeA,  $* - P < 0,05$ .

Значення кінетичних параметрів  $Na^+$ ,  $K^+$ -активованого,  $Mg^{2+}$ -залежного гідролізу АТФ сапонін-перфорованими лімфоцитами хворих на PeA до проведеного лікування ( $M \pm m$ ,  $n = 4-6$ )

рованими лімфоцитами донорів і хворих на ревматичне захворювання істотно відрізняються. За відсутності вірогідної різниці величини  $P_{max}$  гідролізу АТФ сапонін-перфорованими лімфоцитами, виділеними у донорів і хворих на РeA, нами показано, що значення  $V_0$  у хворих на ревматичні захворювання істотно відрізняються від контрольної групи. На основі цих даних можна припустити, що у лімфоцитах периферичної крові хворих на РeA транспортування іонів  $Na^+$  та  $K^+$  відбувається повільніше і менш активно, але характеризується практично однаковою ємністю.

Згідно з результатами каталітичного титрування суспензії лімфоцитів розчином АТФ у діапазоні концентрацій 0,1–2,0 мМ (за сталої концентрації  $Mg^{2+}$ , 5 мМ) відбувається монотонне збільшення ензиматичної активності ouabainчутливої  $Na^+, K^+$ -АТФази з виходом на плато (рис. 2). Можна бачити, що в усьому діапазоні досліджуваних концентрацій АТФ активність  $Na^+, K^+$ -АТФази хворих на ревматичні захворювання знижена порівняно із даною величиною у донорів.

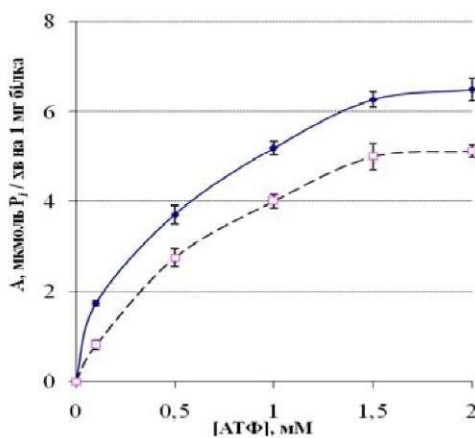


Рис. 2. Залежність впливу АТФ на активність ouabainчутливої  $Na^+, K^+$ -АТФази сапонін-перфорованих лімфоцитів периферичної крові донорів (1) і хворих на РeA до лікування (2) ( $M \pm m, n = 4-6$ )

Для з'ясування можливого механізму зміни ензиматичної активності  $Na^+, K^+$ -АТФази в імунокомпетентних клітинах хворих на РeA, шляхом лінеаризації отриманих даних у координатах Лайнуївера – Берка, проведено визначення основних кінетических параметрів  $Na^+, K^+$ -активованого  $Mg^{2+}$ -залежного гідролізу АТФ сапонін-перфорованими лімфоцитами периферичної крові донорів і хворих на РeA від концентрації АТФ ( $M \pm m, n = 4-8$ ).

Таблиця 2

Кінетичні параметри, які характеризують  $Na^+, K^+$ -активований  $Mg^{2+}$ -залежний гідроліз АТФ сапонін-перфорованими лімфоцитами периферичної крові донорів і хворих на РeA від концентрації АТФ ( $M \pm m, n = 4-8$ )

Кінетичні параметри	Донори	РеA
$V_{max}$ , мкмоль $P_i$ / хв · мг протеїну	$6,30 \pm 0,14$	$7,76 \pm 0,58$
$K_{ATF}$ , мМ	$0,27 \pm 0,01$	$0,79 \pm 0,05 *$

Примітки:  $V_{max}$  – початкова максимальна активність ензиму,  $K_{ATF}$  – константа Міхаелса за АТФ; \* – зміни вірогідні стосовно величин у лімфоцитах осіб групи контролю ( $P < 0,05$ ).

Величини  $K_{ATF}$  знаходяться в діапазоні концентрацій  $10^{-3}$  М, що відповідає фізіологічній концентрації MgATF у цитоплазмі. Розрахунок кінетичних параметрів ouabainчутливої  $Na^+, K^+$ -АТФазої активності свідчить, що максимальна швидкість гідролізу АТФ сапонін-перфорованими лімфоцитами периферичної крові донорів і хворих на РeA, визначена за АТФ, практично не відрізняється у нормі та при патології. Водночас константа афінності до АТФ у лімфоцитах периферичної крові хворих на РeA значно зростає (у 2,9 раза порівняно з практично здоровими донорами).

При інтерпретації отриманих даних з урахуванням кінетических параметрів, визначених за АТФ, ми дійшли висновку, що за умов розвитку ревматичної патології в імунокомпетентних клітинах інгібування активності досліджуваної ензиматичної системи відбувається не за рахунок зменшення числа обертів ензиму, а за рахунок підвищення спорідненості ouabainчутливої  $Na^+, K^+$ -АТФази до АТФ. Оскільки центр гідролізу АТФ локалізований на цитоплазматичній поверхні мембрани, ми припускаємо, що однією з можливих причин конкурентного інгібування ензиму може бути вплив на ензим з боку інших патологічних змін і процесів у лімфоцитах, які мають місце при ревматичній патології. Під час запалення або дії цитотоксичних факторів у позаклітинному оточенні можуть створюватися високі локальні концентрації АТФ (Bodin and Burlstock, 2001). Можливо, такі зміни концентрацій АТФ і ведуть до зростання спорідненості ouabainчутливої  $Na^+, K^+$ -АТФази до АТФ.

При вивченні впливу різних концентрацій іонів  $Na^+$ ,  $K^+$  (мМ/мМ) на питому ензиматичну активність ouabainчутливої  $Na^+, K^+$ -АТФази частину  $KCl$  в інкубаційному середовищі ізотонічно замінювали на  $NaCl$  (сумарна концентрація  $Na^+ + K^+ = 150$  мМ). Графік залежності  $Na^+, K^+$ -АТФази лімфоцитів периферичної крові донорів і хворих на РeA та ACA має типовий куполоподібний вигляд (рис. 3). Оптимальним для функціонування ензиму є співвідношення іонів  $125 K^+ : 25 Na^+$ . У разі відсутності одного з іонів в інкубаційному середовищі  $Na^+, K^+$ -АТФаза не тестується.

Графіки залежності ouabainчутливої  $Na^+, K^+$ -АТФазої активності лімфоцитів периферичної крові донорів і хворих на РeA від співвідношення іонів  $Na^+$  і  $K^+$  (за ізотонічних умов  $Na^+ + K^+ = 150$  мМ) у висхідній частині калієвої компоненти кривих лінсаризовано у координатах Лайнуївера – Берка.

Розрахунок кінетических параметрів ouabainчутливої  $Na^+, K^+$ -АТФазої активності свідчить, що початкова максимальна швидкість гідролізу АТФ сапонін-перфорованими лімфоцитами периферичної крові донорів і хворих на РeA, визначена за  $K^+$ , і уявна константа активації іонами  $K^+$  у лімфоцитах периферичної крові хворих на РeA вірогідно відрізняється порівняно з практично здоровими донорами. Це відповідає змішаному типу інгібування ензиму.

Інтерпретуючи отримані дані з урахуванням кінетических параметрів, визначених за  $K^+$ , ми дійшли висновку, що за умов розвитку ревматичної патології в імунокомпетентних клітинах інгібування активності досліджуваної ензиматичної системи відбувається внаслідок зменшення числа обертів ензиму. Можна припустити,

що зниження величини  $V_{max}$  може бути пов'язане зі зменшенням  $Na^+/K^+$  електрохімічного градієнта цитоплазматичної мембрани лімфоцитів, зниженням кількості транспортувальних одиниць (зменшення їх експресії у мембрані) або зменшенням кількості обертів ензиму. Зниження величини уявної константи активації  $K_K^+$  за умов ревматичної патології вказує на збільшення спорідненості  $Na^+, K^+$ -АТФази до іонів калію. Подібні результати отримані дослідниками для  $H^+/K^+$ -АТФази парієтальних клітин при розвитку експериментальної виразки шлунка (Strocka et al., 2010). Враховуючи те, що центр спорідненості до іонів  $K^+$  локалізований на зовнішньоклітинній поверхні мембрани, ми припускаємо, що зміни афінності до іонів  $K^+$  (і відповідно інгібування ензиматичної активності  $Na^+, K^+$ -АТФази) спричинені також позаклітинними впливами на структуру мембрани.

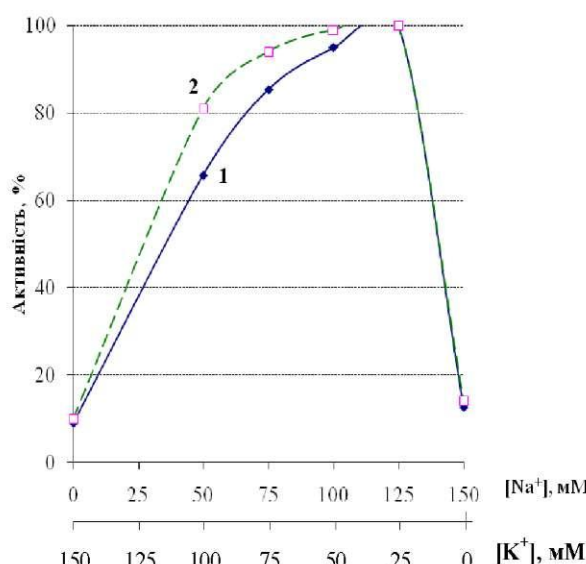


Рис. 3. Вплив зміни співвідношення іонів  $Na^+ + K^+$  (за ізотонічних умов  $Na^+ + K^+ = 150$  мМ) на активність оуабайнчутливої  $Na^+, K^+$ -АТФази сапонін-перфорованих лімфоцитів периферичної крові донорів (1) і хворих на РeA (2) ( $M \pm m, n = 4$ ; за 100 % прийнято ензиматичну активність за оптимального співвідношення іонів  $Na^+ + K^+$ )

$Na^+, K^+$ -активована  $Mg^{2+}$ -залежна АТФаза, яка поєднує транспортно-гідролітичну та рецепторну функції, специфічно взаємодіючи з екзогенними інгібіторами – серцевими глікозидами або їх ендогенними аналогами (Kaplia et al., 2006; Valente et al., 2003). Кардіоактивний стероїд оуабайн належить до високоселективного інгібітора  $Na^+, K^+$ -АТФази. Оуабайн зв'язується з ензимом із зовнішнього боку цитоплазматичної мембрани. Вважають, що оуабайн блокує ензим у конформації  $P-E_2$ , гальмуючи у такий спосіб перехід ензиму в інший конформаційний стан  $P-E_1$ . Оуабайн в інтервалі концентрацій  $10^{-6} - 10^{-3}$  М дозозалежно пригнічує оуабайнчутливу  $Na^+, K^+$ -АТФазу активність лімфоцитів периферичної крові донорів і хворих на ревматичні захворювання (рис. 4). Характер інгібування оуабайном для ензиму у нормі та при патології однаковий. Для з'ясування параметрів інгібування  $Na^+, K^+$ -

АТФази оуабайном проведено лінеаризацію концентраційних кривих у координатах Хілла. Параметри інгібування відповідали високочутливому до оуабайну фенотипу  $Na^+, K^+$ -АТФази, який визначається подібністю структури рецепторної ділянки і є характерним для всіх ізоензимів  $Na^+, K^+$ -АТФази у людини (Kaplia et al., 2006).

Таблиця 3

Кінетичні параметри, які характеризують  $Na^+, K^+$ -активований,  $Mg^{2+}$ -залежний гідроліз АТФ сапонін-перфорованими лімфоцитами периферичної крові донорів і хворих на РeA від зміни співвідношення іонів  $Na^+ + K^+$  (за ізотонічних умов  $Na^+ + K^+ = 150$  мМ,  $M \pm m, n = 4-8$ )

Кінетичні параметри	Донори	РeA
$V_{max}$ , мкмоль $P_f$ / хв · мг протеїну	$7,74 \pm 0,29$	$5,62 \pm 0,26^*$
$K_K^+$ , мМ	$66,8 \pm 3,4$	$27,6 \pm 2,28^*$

Примітки:  $V_{max}$  – початкова максимальна активність ензиму,  $K_K^+$  – уявна константа активації іонами  $K^+$ ; \* – зміни вірогідно стосовно величин у лімфоцитах осіб групи контролю ( $P < 0,05$ ).

Значення уявної константи інгібування оуабайном і коефіцієнт Хілла в лімфоцитах периферичної крові донорів і хворих на РeA вірогідно не відрізняються. Отже,  $Na^+, K^+$ -АТФаза лімфоцитів периферичної крові хворих на РeA зберігає свої нативні рецепторні властивості – чутливість до інгібування оуабайном не змінюється. Збереження нативних рецепторних властивостей  $Na^+, K^+$ -АТФази до оуабайну показано у клітинах карциноми товстої кишки людини (Kaplia et al., 2007). Іншими дослідниками показано, що має місце зміна кінетики зв'язування оуабайну з  $Na^+, K^+$ -АТФазою лімфоцитів у хворих на мігрень, і це може бути корисним інструментом у діагностиці мігрені (Scartone et al., 2007).

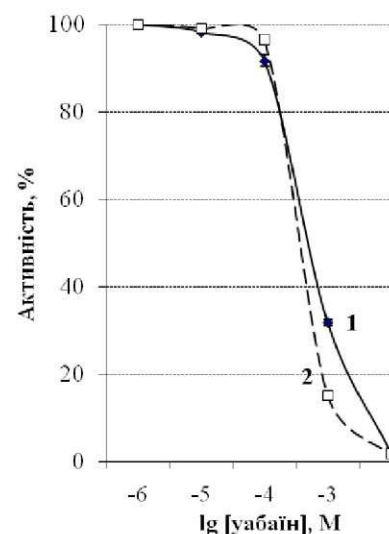


Рис. 4. Інгібування оуабайном  $Na^+, K^+$ -АТФазої активності сапонін-перфорованих лімфоцитів периферичної крові донорів (1) та хворих на РeA (2) ( $M \pm m, n = 6$ )

За 100% прийнято ензиматичну активність  $Na^+, K^+$ -АТФази за відсутності в інкубаційному середовищі оуабайну.

## Висновки

У лімфоцитах периферичної крові хворих на РсА первинно-активне транспортування іонів  $Na^+$ ,  $K^+$  відбувається повільніше і менш інтенсивно порівняно зі здоровими донорами, але характеризується практично однаковою ємністю з донорами. За умов розвитку ревматичної патології константа афінності  $Na^+$ ,  $K^+$ -ATФази до АТФ у лімфоцитах периферичної крові хворих на РсА зростає порівняно з практично здоровими донорами. Водночас,  $Mg^{2+}$ -зв'язувальна ділянка ouabain-чутливої  $Na^+$ ,  $K^+$ -ATФази лімфоцитів хворих на РсА залишається нативною. Відмічається також зниження афінності  $Na^+$ ,  $K^+$ -ATФази лімфоцитів периферичної крові до іонів  $K^+$  і збереження рецепторних властивостей до ouabainу у хворих на РсА. Наведені експериментальні дані можуть бути використані для подальшого з'ясування мембраних механізмів іонного обміну в імунокомпетентних клітинах при автоімунних захворюваннях.

## Бібліографічні посилання

- Berezhnyi, V.V., Marushko, T.V., Marushko, J.V., 2013. Clinical rheumatology. Kyiv (in Ukrainian).
- Bodin, P., Burnstock, G., 2001. Purinergic signalling: ATPase. Neurochem. Res. 26(15), 959–969.
- Boyum, A., 1968. Isolation of mononuclear cells and granulocytes from human blood. Scand. J. Clin. Lab. Invest. 21(97), 77–79.
- Colmegna, I., Espinoza, L., 2005. Recent advances in reactive arthritis. Curr. Reumatol. Rep. 7(3), 201–207.
- Fafula, R.V., Efremova, U.P., Lychkovska, N.E., Vorobets, Z.D., 2012. Kinetic properties of  $Na^+, K^+$ -activated,  $Mg^{2+}$ -dependent ATP-hydrolysis of blood lymphocytes in patients with rheumatoid arthritis and ankylosing spondyloarthritis. Ukr. Biochem. J. 84(3), 44–54 (in Ukrainian).
- Hamdulau, S.S., Glynne, S.J., Keat, A., 2006. When is arthritis reactive? Postgrad. Med J. 82(969), 446–453.
- Kaplya, A.A., Kudryavceva, A.G., Gorchev, V.F., Osinsky, D.C., Hizhnyak, S.V., 2006. Determination of  $Na^+, K^+$ -ATPase activity in human colorectal carcinoma. Ukr. Biochem. J. 78(2), 142–148 (in Ukrainian).
- Keleti, T., 1990. General of enzymatic kinetics. Mir, Moscow (in Russian).
- Kim, P.S., Klausmeier, T.I., Orr, D.P., 2009. Reactive arthritis. Therapia 11(41), 38–44.
- Kohnke, S.J., 2004. Reactive arthritis. A clinical approach. Orthop. Nurs. 23(4), 274–280.
- Kovalenko, V.M., 2011. Optimisation of swelling and inflammatory joint syndromes' treatment in patients with rheumatic diseases. Ukr. Rheumat. J. 44(2), 74–78 (in Ukrainian).
- Leirisalo-Repo, M., 2005. Reactive arthritis. Scand. J. Rheumatol. 34(4), 251–259.
- Leirisalo-Repo, M., Sieper, J., 2006. Reactive arthritis: Epidemiology, clinical features, and treatment. Spondylitides and the spondyloarthropathies. Philadelphia, Mosby Elsevier, 53–64.
- Lowry, O.H., Rosebrough, N.J., Farr, A.L., 1951. Protein measurement with the folin phenol reagent. J. Biol. Chem. 193(1), 265–275.
- Lychkovska, N., Fafula, R., Efremova, U., Vorobets, Z.D., 2011. A study of  $Na^+, K^+$ -ATPase and arginase activity in peripheral blood lymphocytes in patient with rheumatic diseases. Annales Universitatis Mariae Curie-Skłodowska 24(1), 171–177.
- Melnik, O.V., Lychkovska, N.E., Kornijchuk, O.P., Vorobets, Z.D., 2012. ATP-hydrolase lymphocytes of peripheral blood activities in patient with reactive arthritis. Bukov. Med. Visnyk 16(3), 50–53.
- Mishell, B.B., Shiigi, S.M., 1980. Selected methods in cellular immunology. W.H. Freeman & Co, San Francisco.
- Rathbun, W., Betlach, V., 1969. Estimation of enzymically produced orthophosphate in the presence of cysteine and adenosine triphosphate. Anal. Biochem. 28, 436–447.
- Spaska, G.O., 2011. Reactive arthritis: Modern look on the problem. Ukr. Med. Chasopys 6(86), 82–88 (in Ukrainian).
- Scarrone, S., Podestà, M., Cupello, A., Finocchi, C., Frassoni, F., 2007. Abnormalities of  $Na^+, K^+$ -ATPase in migraine aura. Cephalgia 27(2), 128–132.
- Tian, J., Cai, T., Yuan, Z., Wang, H., Lui, L., 2006. Binding of Src to  $Na^+, K^+$ -ATPase form a functional signaling complex. Mol. Biol. Cell. 17, 317–326.
- Valente, R.C., Capella, L.S., Monteiro, R.Q., 2003. Mechanism of ouabain toxicity. FASEB J. 17(12), 1700–1702.
- Zeidler, H., Kuipers, J., Kohler, L., 2004. Chlamidia-induced arthritis. Curr. Opin. Reumatol. 16(4), 380–392.

Надійшла до редакції 15.11.2013